

**არაწრივი ელექტრონული სემების ოპტიმალური დაპროექტების ამოცანა
მრავალპრიზერიული ოპტიმიზაციის თვალსაზრისით**

ნოდარ ჯიბლაძე, ლელა გაჩეჩილაძე, თეიმურაზ იმედაძე, ვასილ კუციავა
საქართველოს ტექნიკური უნივერსიტეტი

რეზიუმე

განხილულია არაწრივი ელექტრონული სქემების ოპტიმალური დაპროექტების ამოცანა, კერძოდ, კონკრეტული არაწრივი ელექტრონული სქემის მაგალითზე ნაჩვენებია საოპტიმიზაციო მათემატიკური მოდელის შემუშავების ტექნოლოგია, რომლის საფუძველზეც აღნიშნული სქემის ოპტიმალური დაპროექტების ამოცანა დაიყვანება მრავალკრიტერიული ოპტიმიზაციის მათემატიკური დაპროგრამების ამოცანაზე. სქემის ოპტიმალური პარამეტრების განსაზღვრისათვის შემოთავაზებულია მათემატიკური და პროგრამული უზრუნველყოფა, რომლის საშუალებით ჩატარებულია გამოთვლითი ექსპერიმენტები და გაანალიზებულია მიღებული შედეგები.

საკვანძო სიტყვები: ოპტიმიზაცია. მრავალკრიტერიული ოპტიმიზაცია. პარეტო-ოპტიმალური ამონასნი. სიმბიმის ცენტრების მეთოდი. სამისამართო დეშიფრატორის მართვის სქემა. სტატიკური სიმბლავრე. სქემის გადართვის დაყოვნების დრო.

1. ამოცანის დასმა

მოცემული კონფიგურაციის ელექტრონული სქემების ოპტიმალური დაპროექტების ამოცანა შემდეგში მდგომარეობს. საჭიროა ვიპოვოთ სქემის ელემენტების ისეთი მნიშვნელობები, რომლის დროსაც ტექნიკური დავალების კონკრეტული მოთხოვნები დაკმაყოფილდება და, ამასთან, ოპტიმალობის შერჩეული კრიტერიუმები ექსტრემალურ მნიშვნელობას მიაღწევს. მათემატიკური თვალსაზრისით აღნიშნული ამოცანა, საზოგადოდ, მრავალკრიტერიული ოპტიმიზაციის ამოცანას წარმოადგენს და იგი შემდეგნაირად ჩაიწერება:

$$\min \left\{ f(x) \mid g_i(x) \leq 0, i = \overline{1, m}; a_j \leq x_j \leq b_j, j = \overline{1, n} \right\}, \quad (1)$$

სადაც $f(x) = (f_1(x), f_2(x), \dots, f_k(x))$ მიზნის ვექტორული ფუნქციაა, $g_i(x)$ წრფივი ან არაწრივი შეზღუდვებია, რომლებიც დასაშვებ ამონასნთა რაღაც Ω სიმრავლეს განსაზღვრავს, ხოლო a_j და b_j საოპტიმიზაციო ცვლადების მნიშვნელობებია, რომლებიც მათ შესაძლო ცვლილებათა დიაპაზონს ახასიათებს.

მრავალკრიტერიულ ამოცანებში, როგორც ცნობილია, დასაშვებ ამონასნთა სიმრავლიდან საუკეთესო ამონასნის ამორჩევას ახორციელებს სუბიექტი, რომელიც სრულად აგებს პასუხს მიღებულ გადაწყვეტილებაზე და მას გადაწყვეტილების მიმღები პირი ეწოდება. საზოგადოდ, გადაწყვეტილების მიმღები პირი დაინტერესებულია მიიღოს (1) ამოცანაში არსებული ყველა f_1, f_2, \dots, f_k კრიტერიუმის შემღებისადაცვარად მინიმალური მნიშვნელობები. ამ შემთხვევაში, საუკეთესო (იდეალური) გადაწყვეტილება მისთვის იქნება ის, რომელიც მოახდენს აღნიშნული ყველა კრიტერიუმის ერთდროულად მინიმიზაციას Ω სიმრავლეზე. სამწუხაროდ, მსგავსი გადაწყვეტი-

ლებები ცხოვრებაში პრაქტიკულად არ გვხვდება. ამიტომ, როგორც წესი, საქმე გვაქვს კომპრომი-სულ ამონასნებთან, რომლებსაც პარეტო-ოპტიმალური ამონასნებს უწოდებენ [1].

მრავალკრიტერიული ოპტიმიზაციის (1) ამოცანაში დასაშვებ ამონასნთა Ω სიმრავლისა და $f(x)$ ვექტორ-ფუნქციის კომპონენტების ამოზნექილობის (ჩაზნექილობის) შესახებ აპრიორული ინფორმაცია არ არსებობს, ამიტომ აღნიშნული ამოცანის პარეტო-ოპტიმალური ამონასნების განსაზღვრა შესაძლებელია განხორციელდეს შემდეგი გამოსახულების მინიმიზაციის საფუძველზე:

$$\min_{x \in \Omega} \tilde{f}(x) = \min_{x \in \Omega} \max_{i=1,2,\dots,k} \lambda_i f_i(x) \quad (2)$$

სადაც λ_i ნამდვილი რიცხვებია, რომლებიც აკმაყოფილებენ პირობას $\lambda_i > 0$, $i = 1, 2, \dots, k$,

$\sum_{i=1}^k \lambda_i = 1$. ასეთ შემთხვევაში ერთი პარეტო-ოპტიმალური ამონასნის მოსამებნად შეიძლება გამოვიყენოთ შემდეგი ალგორითმული სქემა:

- 1⁰. შემთხვევითი წესით შეირჩევა λ_i კოეფიციენტების ისეთი მნიშვნელობები, რომ შესრულდეს პირობა: $\lambda_1 + \lambda_2 + \dots + \lambda_k = 1$;
- 2⁰. გამოითვლება $f(x)$ ვექტორ-ფუნქციის კომპონენტების მნიშვნელობები: $y_i(x) = \lambda_i f_i(x)$, $i = 1, 2, \dots, k$;
- 3⁰. ვექტორ-ფუნქციის გამოთვლილ კომპონენტებს შორის აირჩევა მაქსიმალური მნიშვნელობის მქონე კომპონენტი: $\tilde{f}(x) = \max_{i=1,2,\dots,k} \lambda_i f_i(x)$;
- 4⁰. გადაწყდება ერთკრიტერიული მინიმიზაციის შემდეგი ამოცანა:

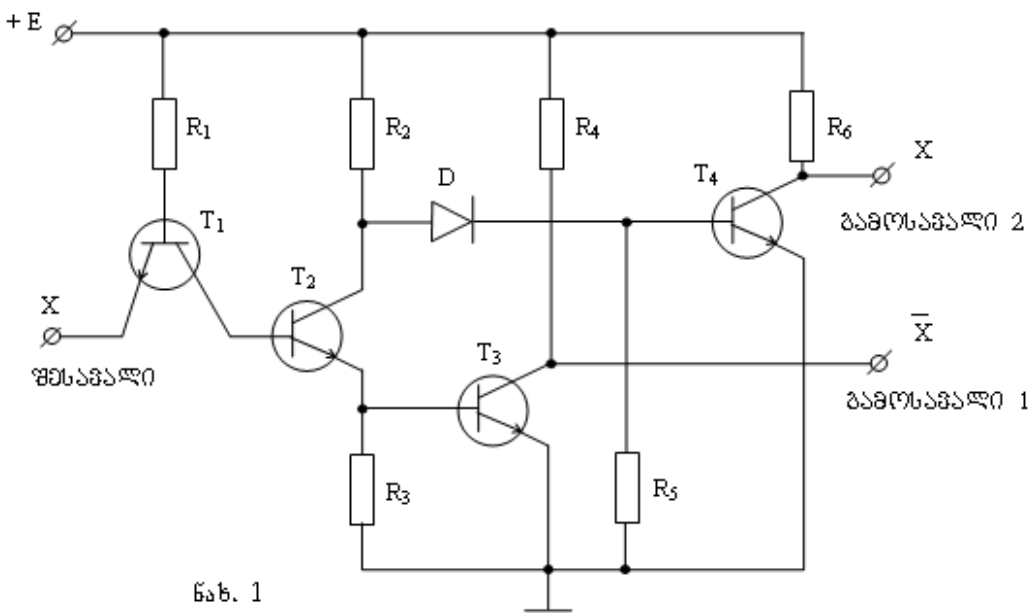
$$\min_{x \in \Omega} \left\{ \tilde{f}(x) \mid x \in \Omega \subset R^n \right\}, \quad (3)$$

(3) ამოცანის ამოსახსნელად შესაძლებელია გამოყენებულ იქნეს ერთკრიტერიული ოპტიმიზაციის მეთოდი, მაგალითად, სიმბიმის ცენტრების მეთოდი [2]. მიღებული მინიმუმი მრავალკრიტერიული ოპტიმიზაციის (1) ამოცანის კომპრომისულ ამონასნს წარმოადგენს. $1^0 - 4^0$ პროცედურების N რაოდენობით გამეორების შედეგად განისაზღვრება N რაოდენობის პარეტო-ოპტიმალური ამონასნი, საიდანაც გადაწყვეტილების მიმღები პირის მიერ ამოირჩევა საუკეთესო ვარიანტი.

მრავალკრიტერიული ოპტიმიზაციის ამოცანების გადაწყვეტის წარმოდგენილი სქემა გამოიყენება არაწრფივი ელექტრონული სქემების ოპტიმალური დაპროექტების ამოცანებში იმ შემთხვევაში, თუ ეს უკანასკნელი დაიყვანება (1) საოპტიმიზაციო მოდელზე.

2. არაწრფივი ელექტრონული სქემის საოპტიმიზაციო მოდელის შემუშავების ტექნოლოგია

მაგალითისათვის განვიხილოთ ელექტრონული პრინციპიალური სქემა დასაპროექტებელი ობიექტისა, რომელიც მეხსიერების მოწყობილობაში სამისამართო დეშიფრატორის სამართავად გამოიყენება (ნახ.1)[3].

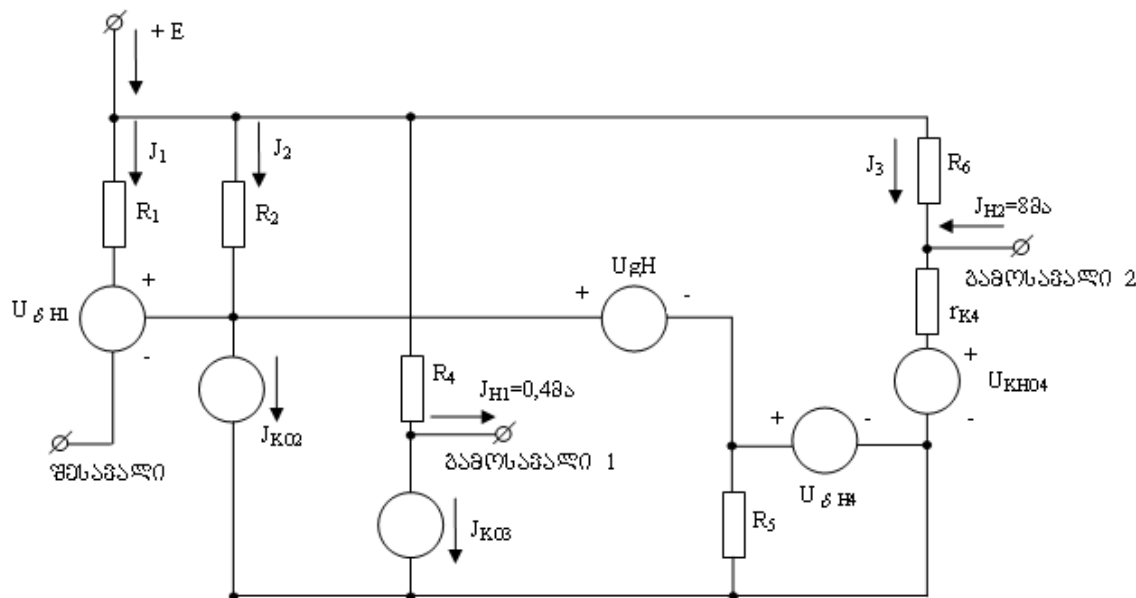


მოცემული სქემის ფორმალიზაციის მიზნით შევადგინოთ ოპტიმიზაციის მათემატიკური მოდელი, რომელშიც გათვალისწინებულ უნდა იქნეს ტექნიკური დავალების შემდეგი მოთხოვნები:

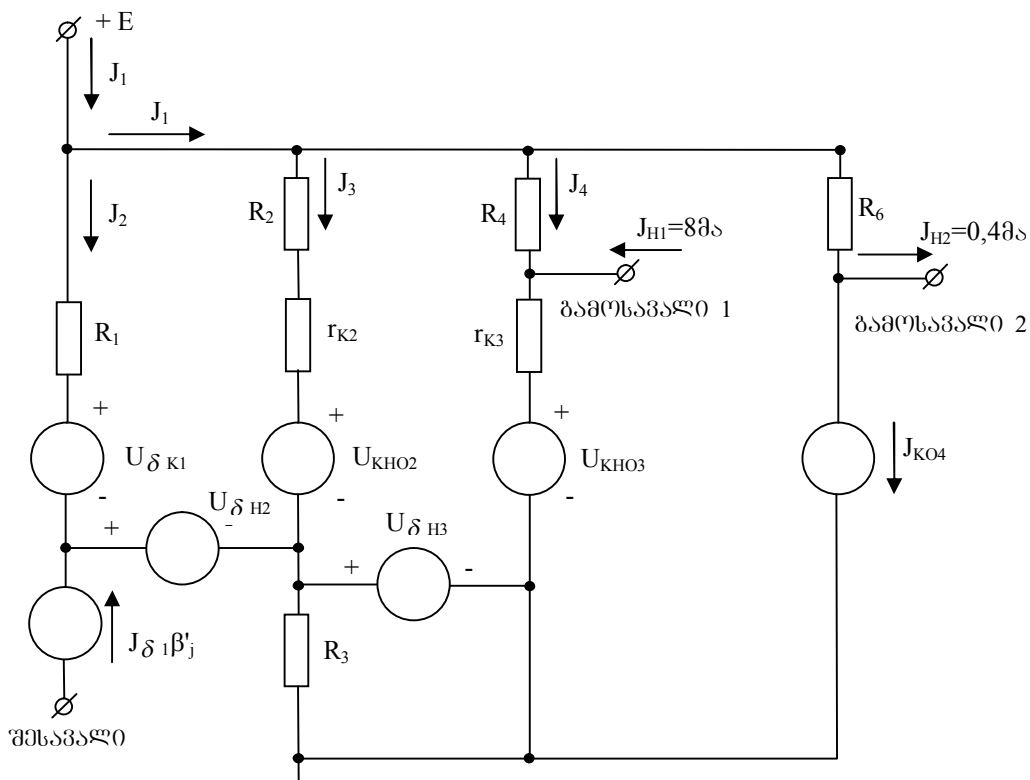
- 1) სქემა სამძლოდ უნდა მუშაობდეს ტემპერატურის ფართო დიაპაზონში: $-60^{\circ}C \leq t \leq +125^{\circ}C$;
- 2) შესავალი სიგნალის მინიმალური დონე (ლოგიკური "0") უნდა იყოს არაუმეტეს $+0.4$ ვოლტი;
- 3) შესავალი სიგნალის მაქსიმალური დონე (ლოგიკური "1") უნდა იყოს არანაკლებ $+2.4$ ვოლტი;
- 4) გამოსავალი სიგნალის მინიმალური დონე - არაუმეტეს $+0.4$ ვოლტი;
- 5) გამოსავალი სიგნალის მაქსიმალური დონე - არანაკლებ $+2.4$ ვოლტი;
- 6) გამოსავალი სიგნალის დაყოვნების საშუალო დრო - არაუმეტეს 40 ნანოწამი;
- 7) სქემის მიერ მოთხოვნილი სიმძლავრე სტატიკურ რეჟიმში - არაუმეტეს 40 მილივოლტი.

მათემატიკური მოდელის გამარტივების მიზნით, აქტიური ელემენტების არაწრფივი მოდელების ნაცვლად გამოვიყენოთ ტრანზისტორისა და დიოდის უბან-უბან წრფივი მოდელები [4] და შევადგინოთ ეკვივალენტური სქემები, რომელიც შეესაბამება მოცემული სქემის ორ სტატიკურ მდგრამარეობას:

- H მდგომარეობა, როცა სქემის შესავალზე დაბალი დონის სიგნალი (ლოგიკური "0") მიეწოდება (ნახ. 2);
- B მდგომარეობა, როცა სქემის შესავალზე მაღალი დონის სიგნალი (ლოგიკური "1") მიეწოდება (ნახ. 3).



ნახ. 2



ნახ. 3

ვინაიდან მოცემულ სქემას ორი მდგომარეობა გააჩნია, ამიტომ სტატიკური სიმძლავრე განისაზღვრება როგორც P^0 და P^1 მდგომარეობების საშუალო არითმეტიკული:

$$P = 0.5(P^0 + P^1). \quad (4)$$

სქემის მიერ H მდგომარეობაში მოხმარებული სიმძლავრე გამოისახება შემდეგნაირად:

$$P^0 = (J_1^0 + J_2^0 + J_3^0)E, \quad (5)$$

სადაც E კვების ძაბვაა, ხოლო

$$J_1^0 = \frac{E - U_{\delta H1} - U_{\text{აშ}}}{R_1}, \quad (6)$$

$$J_2^0 = \frac{E - U_{\delta H4} - U_{gH} - J_{k02}R_2}{R_2}, \quad (7)$$

$$J_3^0 = \frac{E - U_{KHO4}}{R_6 + r_{K4}}, \quad (8)$$

სადაც $U_{\delta H1}$ და $U_{\delta H4}$ შესაბამისად T_1 და T_4 ტრანზისტორების ძაბვის ვარღნებია ბაზა-ემიტერის გადასავალზე გაჯერების რეჟიმში;

U_{gH} - დიოდის გადასავალზე ძაბვის ვარღნა გაჯერების რეჟიმში;

J_{k02} - T_2 ტრანზისტორის უკუდენის ძალა წაკვეთის რეჟიმში;

U_{KHO4} - შესავალი ძაბვა; r_{K4} - T_4 ტრანზისტორის კოლექტორის წინაღობა.

J_1^0 , J_2^0 და J_3^0 მნიშვნელობების (5) გამოსახულებაში შეტანის შედეგად მივიღეთ:

$$P^0 = \left(\frac{E - U_{\delta H1} - U_{\text{აშ}}}{R_1} + \frac{E - U_{\delta H4} - U_{gH} - J_{k02}R_2}{R_2} + \frac{E - U_{KHO4}}{R_6 + r_{K4}} \right) E. \quad (9)$$

H მდგომარეობაში T_4 ტრანზისტორი მუშაობს გაჯერებულ მდგომარეობაში, რაც შემდეგი თანაფარდობით შეიძლება გამოვსახოთ [5]:

$$\frac{\beta_4 J_{\delta 4}}{J_{KHO4}} \geq S, \quad (10)$$

სადაც β_4 ტრანზისტორის გაძლიერების სტატიკური კოეფიციენტია, $J_{\delta 4}$ - ბაზური დენის ძალა გაჯერების რეჟიმში; J_{KHO4} - გაჯერებული ტრანზისტორის კორექტორული დენის ძალა; S - გაჯერების კოეფიციენტი, $S = 1.2$.

განვსაზღვროთ T_4 ტრანზისტორის $J_{\delta 4}$ და J_{KHO4} :

$$J_{\delta 4} = J_2 - \frac{U_{\delta H4}}{R_5} = \frac{E - U_{\delta H4} - U_{gH} - J_{k02}R_2}{R_2} - \frac{U_{\delta H4}}{R_5}, \quad (11)$$

$$J_{KHO4} = J_3 + J_{r2}^0 = \frac{E - U_{KHO4}}{R_6 + r_{K4}} + J_{r2}^0, \quad (12)$$

სადაც $J_{r2}^0 = 8$ მილიამპერი დენის ეკვივალენტური გენერატორია. უკანასკნელი მონაცემების (10) გამოსახულებაში ჩასმის შედეგად მივიღებთ T_4 ტრანზისტორის გაჯერების პირობას:

$$\frac{\beta_4 \left(\frac{E - U_{gH} - U_{\delta H4} - J_{KO2} R_2}{R_2} - \frac{U_{\delta H4}}{R_5} \right)}{\frac{E - U_{KHO4}}{R_6 + r_{k4}} + 8} \geq 1.2. \quad (13)$$

ტექნიკური მოთხოვნების შესაბამისად, დატვირთვის სქემის ნორმალური მუშაობისათვის აუცილებელია გამოსავალი ძაბვების გარკვეული დონეები შევინარჩუნოთ. ამიტომ პირობები, რომ-ლებიც ამ შეზღუდვებს ითვალისწინებს, შეიძლება შემდეგნაირად გამოვსახოთ:

$$U_{\delta^{sa.1}} = E - (J_{\Gamma 1}^0 + J_{KO3}) R_4 \geq 2.4, \quad (14)$$

$$U_{\delta^{sa.2}} = U_{KHO4} + \left(J_{\Gamma 2}^0 + \frac{E - U_{KHO4}}{R_6 + r_{K4}} \right) R_{K4} \leq 0.4, \quad (15)$$

სადაც $J_{\Gamma 1}^0 = 0.4$ მიღიამართ.

Б მდგომარეობაში სქემის მიერ მოთხოვნილი სიმძლავრე (5) გამოსახულების ანალოგიურად განისაზღვრება:

$$P^1 = (J_2^1 + J_3^1 + J_4^1) E, \quad (16)$$

$$J_2^1 = \frac{E - U_{\delta K1} - U_{\delta H2} - U_{\delta H3}}{R_1}, \quad (17)$$

$$J_3^1 = \frac{E - U_{KHO2} - U_{\delta H3}}{R_2 + r_{K2}}, \quad (18)$$

$$J_4^1 = \frac{E - U_{KHO3}}{R_4 + r_{K3}}, \quad (19)$$

სადაც $U_{\delta K1}$ ძაბვის ვარდნაა T_1 ტრანზისტორის ბაზა-კოლექტორის გადასავალზე; $U_{\delta H2}$ და $U_{\delta H3}$ - შესაბამისად გაჯერებული T_2 და T_3 ტრანზისტორების ბაზა-ემიტერის გადასავალზე მოდებული ძაბვის ვარდნები; r_{K2} და r_{K3} - შესაბამისად T_2 და T_3 ტრანზისტორების კოლექტორის წინაღობები.

J_2^1 , J_3^1 და J_4^1 მნიშვნელობების (16) გამოსახულებაში შეტანის შედეგად მივიღებთ:

$$P^1 = \left(\frac{E - U_{\delta K1} - U_{\delta H2} - U_{\delta H3}}{R_1} + \frac{E - U_{KHO2} - U_{\delta H3}}{R_2 + r_{K2}} + \frac{E - U_{KHO3}}{R_4 + r_{K3}} \right) E. \quad (20)$$

Б მდგომარეობაში T_2 და T_3 ტრანზისტორები გაჯერებულია, ამიტომ გაჯერების პირობები შემდეგნაირად გამოისახება:

$$\frac{\beta_2 J_{\delta 2}}{J_{KH2}} \geq 1.2, \quad \frac{\beta_3 J_{\delta 3}}{J_{KH3}} \geq 1.2. \quad (21)$$

ეპივალენტური სქემიდან განვსაზღვროთ:

$$J_{\delta 2} = J_{K1} = J_{\delta 1}(1 + \beta_i') = J_2(1 + \beta_i') = \frac{E - U_{\delta K1} - U_{\delta H2} - U_{\delta H3}}{R_1}(1 + \beta_i'), \quad (22)$$

$$J_{KH2} = J_3 = \frac{E - U_{KHO2} - U_{\delta H3}}{R_2 + r_{K2}}, \quad (23)$$

$$J_{\delta 3} = J_{\delta 2} + J_{KH2} - \frac{U_{\delta H3}}{R_3} = \frac{E - U_{\delta K1} - U_{\delta H2} - U_{\delta H3}}{R_1} (1 + \beta_i) + \frac{E - U_{KHO2} - U_{\delta H3}}{R_2 + r_{K2}} - \frac{U_{\delta H3}}{R_3}, \quad (24)$$

$$J_{KH3} = \frac{E - U_{KHO3}}{R_4 + r_{K3}} + J_{\Gamma 1}^1, \quad (25)$$

სადაც β_i' T_1 -ტრანზისტორის გაძლიერების ინვერსიული კოეფიციენტია, ხოლო $J_{\Gamma 1}^1 = 8$ მილიამ-პერი.

უკანასკნელი მონაცემების (21) გამოსახულებებში ჩასმის შედეგად მივიღებთ:

$$\frac{\beta_2 \frac{E - U_{\delta K1} - U_{\delta H2} - U_{\delta H3}}{R_1} (1 + \beta_i')}{\frac{E - U_{KHO2} - U_{\delta H3}}{R_2 + r_{K2}}} \geq 1.2, \quad (26)$$

$$\frac{\beta_3 \left[\frac{E - U_{\delta K1} - U_{\delta H2} - U_{\delta H3}}{R_1} (1 + \beta_i') + \frac{E - U_{KHO2} - U_{\delta H3}}{R_2 + r_{K2}} - \frac{U_{\delta H3}}{R_3} \right]}{\frac{E - U_{KHO3}}{R_4 + r_{K3}} + 8} \geq 1.2. \quad (27)$$

B მდგომარეობაში გამოსავალი სიგნალების გარკვეულ დონეებზე შენარჩუნების პირობები (14) და (15) გამოსახულებების ანალოგიურია:

$$U_{\delta \text{sh}1} = U_{KHO3} + \left(J_{\Gamma 1}^1 + \frac{E - U_{KHO3}}{R_4 + r_{K3}} \right) r_{K3} \leq 0.4, \quad (28)$$

$$U_{\delta \text{sh}2} = E - (J_{\Gamma 2}^1 + J_{KO4}) R_6 \geq 2.4, \quad (29)$$

სადაც $J_{\Gamma 2}^1 = 0.8$ მილიამპერი.

(9) და (20) გამოსახულებების (4)-ში შეტანის შედეგად მივიღებთ სტატიკურ რეჟიმში სქემის მიერ მოხმარებული სიმძლავრის ანალიზურ გამოსახულებას:

$$P = 0.5 \left(\frac{E - U_{\delta H1} - U_{\text{შეტ.}}}{R_1} + \frac{E - U_{\delta H4} - U_{gH} - J_{k02} R_2}{R_2} + \frac{E - U_{KHO4}}{R_6 + r_{K4}} + \frac{E - U_{\delta K1} - U_{\delta H2} - U_{\delta H3}}{R_1} + \frac{E - U_{KHO2} - U_{\delta H3}}{R_2 + r_{K2}} + \frac{E - U_{KHO3}}{R_4 + r_{K3}} \right) E \quad (30)$$

როგორც ცნობილია, არაწრფივი სქემის მუშაობის ძირითად მახასიათებელს იმპულსურ რეჟიმში წარმოადგენს გადართვის დაყოვნების დრო, რომელიც განისაზღვრება როგორც ძაბვის სიგნალის წინა და უკანა ფრონტების საშუალო დრო:

$$t_{\text{დაწ.}} = 0.5(t_1 + t_2) \quad (31)$$

ლოგიკური სქემებისათვის წინა ფრონტის დაყოვნების t_1 დრო განისაზღვრება როგორც სხვაობა დროის იმ მომენტებს შორის, როცა შესავალი და გამოსავალი ძაბვის სიგნალები თავიანთი მაქსი-

მაღლური დონის 50%-სიდიდეს მიაღწევს, ხოლო უკანა ფრონტის დაყოვნების t_2 დრო განისაზღვრება როგორც სხვაობა დროის იმ მომენტებს შორის, როცა შესავალი და გამოსავალი ძაბვის სიგნალები თავიანთი მაქსიმალური დონიდან 50%-სიდიდით შემცირდება.

$t_{\text{დან}} -$ ის ანალიზურად გამოთვლა დიდ სიძნელეებთან არის დაკავშირებული, რადგან იგი მაღალი რიგის დიფერენციალური განტოლების ამოხსნას საჭიროებს. ამიტომ მის გამოსათვლელად გამოყენებულ იქნა ტეილორის დაშლის ფორმულა:

$$t_{\text{დან}} \approx \bar{t}_{\text{დან}} + \sum_{i=1}^n \frac{\partial t_{\text{დან}}}{\partial R_i} (R_i - \bar{R}_i), \quad (32)$$

სადაც $\bar{t}_{\text{დან}} = t_{\text{დან}} (R_1 = \bar{R}_1, R_2 = \bar{R}_2, \dots, R_n = \bar{R}_n)$, ხოლო $\bar{R}_1, \bar{R}_2, \dots, \bar{R}_n$ - რეზისტორების ნებისმიერი დასაშვები მნიშვნელობებია.

რადგან მოცემულ სქემას ორი გამოსავალი გააჩნია და, ამასთან, ადგილი აქვს შემდეგ მახლოებით ტოლობას $\frac{\partial t_{\text{დან}}}{\partial R_i} \approx \frac{\Delta t_{\text{დან}}}{\Delta R_i}$, ამიტომ გვექნება

$$t_{\text{დან}1} = \bar{t}_{\text{დან}1} + \sum_{i=1}^6 \frac{\Delta t_{\text{დან}1}}{\Delta R_i} (R_i - \bar{R}_i) \leq \tilde{t}_{\text{დან}1}, \quad (33)$$

$$t_{\text{დან}2} \approx \bar{t}_{\text{დან}2} + \sum_{i=1}^6 \frac{\Delta t_{\text{დან}2}}{\Delta R_i} (R_i - \bar{R}_i) \leq \tilde{t}_{\text{დან}2}, \quad (34)$$

სადაც $\tilde{t}_{\text{დან}1}$ და $\tilde{t}_{\text{დან}2}$ შესაბამისი პარამეტრების ზღვრული დასაშვები მნიშვნელობებია.

$\frac{\Delta t_{\text{დან}1}}{\Delta R_i}$ და $\frac{\Delta t_{\text{დან}2}}{\Delta R_i}$ კოეფიციენტები ექსპერიმენტის საფუძველზე განისაზღვრება, რისთვისაც შესაძლებელია ელექტრონული სქემების ანალიზის ნებისმიერი კომპიუტერული პროგრამის გამოყენება. ექსპერიმენტის შედეგები წარმოდგენილია 1-ლ ცხრილში.

მიღებული შედეგების (31) და (32) გამოსახულებებში ჩასმის შედეგად მივიღებთ:

$$t_{\text{დან}1} = 28.62 - 0.2(R_2 - 3) + 0.525(R_3 - 2) + 3.76(R_4 - 2.4) \leq \tilde{t}_{\text{დან}1}, \quad (35)$$

$$t_{\text{დან}2} = 36 - (R_1 - 4) + 3.333(R_2 - 3) + 0.7(R_5 - 5) + 5(R_6 - 2.4) \leq \tilde{t}_{\text{დან}2}. \quad (36)$$

ზემოთ მოყვანილ გამოსახულებებში დამოუკიდებელ ცვლადებს სქემის პასიური ელემენტები წარმოადგენს: R_1, R_2, R_3, R_4, R_5 და R_6 , რომელთა მნიშვნელობების შესაძლო ცვლილების დიაპაზონი სქემოტექნიკური მოსაზრებებით შეზღუდულია:

$$1.0(\text{კომი}) \leq R_i \leq 5.0(\text{კომი}), \quad i = \overline{1, 6}. \quad (37)$$

№	R_1 ჯომი	R_2 ჯომი	R_3 ჯომი	R_4 ჯომი	R_5 ჯომი	R_6 ჯომი	$\Delta t_{\text{დაკ.1}}$ ნწამი	$\Delta t_{\text{დაკ.2}}$ ნწამი	$\frac{\Delta t_{\text{დაკ.1}}}{\Delta R_i}$	$\frac{\Delta t_{\text{დაკ.2}}}{\Delta R_i}$
1	4.0	3.0	2.0	2.4	5.0	2.4	28.62	36.0	-	-
2	4.8	3.0	2.0	2.4	5.0	2.4	28.62	35.2	0	-1.0
3	4.0	3.6	2.0	2.4	5.0	2.4	28.50	38.0	-0.2	3.333
4	4.0	3.0	2.4	2.4	5.0	2.4	28.83	0	0.525	0
5	4.0	3.0	2.0	2.9	5.0	2.4	30.50	0	3.76	0
6	4.0	3.0	2.0	2.4	6.0	2.4	28.62	36.7	0	0.7
7	4.0	3.0	2.0	2.4	5.0	2.9	28.62	38.5	0	5.0

შეზღუდულია, აგრეთვე, ტრანზისტორების კოლექტორული დენის ძალების მნიშვნელობები. ასე, მაგალითად, T_2 ტრანზისტორისათვის მაქსიმალურად დასაშვები კოლექტორული დენის ძალის მნიშვნელობაა 3 მილიამპერი, ხოლო T_3 და T_4 ტრანზისტორისათვის - 15 მილიამპერი. ტემპერატურის მოცემულ დიაპაზონში სქემის ნორმალური ფუნქციონირების შესაფასებლად საჭიროა ვისარგებლოთ ზღვრული გამოცდების მეთოდით, რომლის თანახმად, სქემის მუშაუნარიანობა შესავალი პარამეტრებისა და გარე პირობების ყველაზე უარესი მნიშვნელობების დროს განისაზღვრება.

ზღვრული გამოცდების შედეგებისა და აქტიური ელემენტების ელექტრო-ფიზიკური პარამეტრების რიცხვითი მნიშვნელობების გათვალისწინებით, ზემოთ მიღებული თანაფარდობების საფუძვლზე შედგნილ იქნა დასაპროექტებული ელექტრონული სქემის საოპტიმიზაციო მათემატიკური მოდელი, რომელსაც აქვს შემდეგი სახე:

$$f_1(R_1, R_2, \dots, R_6) = P = \frac{19.55}{R_1} + \frac{12.3}{R_2 + 0.011} + \frac{15.0}{R_4 + 0.005} + \frac{9.63}{R_2} + \frac{15.0}{R_6 + 0.005}, \quad (38)$$

$$f_2(R_1, R_2, \dots, R_6) = t_{\text{დაკ.}} = 5R_6 + 0.7R_5 + 3.333R_2 - R_1 + 14.501, \quad (39)$$

$$\frac{(R_4 + 0.005)[R_3(48.3R_1 + 23.4R_2 + 0.2574) - R_1(14R_2 + 0.154)]}{R_1 R_3 (R_2 + 0.011)(8R_4 + 4.49)} \geq 12, \quad (40)$$

$$\frac{7.3R_2 + 0.0803}{R_1} \geq 1.2, \quad (41)$$

$$\frac{(R_6 + 0.005)(35.4R_5 - 14R_2)}{R_2 R_5 (8R_6 + 4.49)} \geq 12, \quad (42)$$

$$\frac{4.8}{R_2 + 0.017} \leq 3, \quad (43)$$

$$\frac{8R_4 + 5.49}{R_4 + 0.005} \leq 15, \quad (44)$$

$$\frac{8R_6 + 5.49}{R_6 + 0.005} \leq 15, \quad (45)$$

$$0.8R_4 \leq 2.1, \quad (46)$$

$$0.8R_6 \leq 2.1, \quad (47)$$

$$\frac{0.114R_4 + 0.044912}{R_4 + 0.008} \leq 0.4, \quad (48)$$

$$\frac{0.114R_6 + 0.044912}{R_6 + 0.008} \leq 0.4, \quad (49)$$

$$3.76R_4 + 0.525R_3 - 0.2R_2 + 19.146 \leq 40, \quad (50)$$

$$\frac{23.6}{R_1} + \frac{13.3}{R_2 + 0.017} + \frac{12.3}{R_4 + 0.008} + \frac{11.7}{R_2} + \frac{12.3}{R_6 + 0.008} \leq 40, \quad (51)$$

$$0 \leq |R_4 - R_6| \leq 0.01, \quad (52)$$

$$1.0 \leq R_i \leq 5.0, \quad i = \overline{1, 6}. \quad (53)$$

უტოლობათა სისტემაში (52) შეზღუდვის შემოტანა გაპირობებულია R_4 და R_6 წინაღობების მიახლოებითი ტოლობის შესანარჩუნებლად: $R_4 \approx R_6$.

ამგვარად, მოცემული კლექტორული სქემის ოპტიმალური დაპროექტების (38)-(53) ამოცანა დაყვანილ იქნა მრავალკიტერიული ოპტიმიზაციის ამოცანაზე და იგი შემდეგში მდგომარეობს: საჭიროა განისაზღვროს: R_1, R_2, R_3, R_4, R_5 და R_6 რეზისტორების ისეთი მნიშვნელობები, რომლის დროსაც სქემის სტატიკური სიმძლავრე (38) და სქემის გადართვის დაყოვნების დრო (39) თავის მინიმალურ მნიშვნელობას მიაღწევს უტოლობათა (40)-(53) სისტემის დაკმაყოფილების დროს.

3. გამოთვლითი ექსპერიმენტის შედეგები

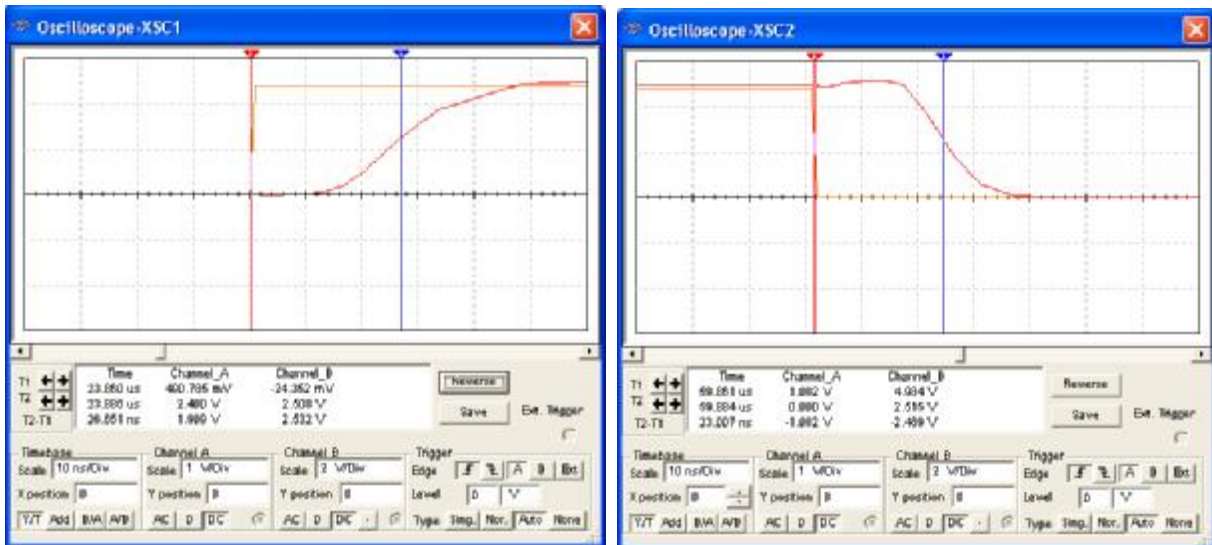
მრავალკრიტერიული ოპტიმიზაციის (38)-(53) ამოცანა გადაწყვეტილ იქნა ზემოთ შემოთავაზებული ალგორითმული სქემის საფუძველზე შემუშავებული პროგრამული უზრუნველყოფის საშუალებით, რომელშიც გამოყენებულია სიმძიმის ცენტრების მეთოდი ერთკრიტერიული ოპტიმიზაციის ამოცანების გადასაწყვეტად.

მე-2 ცხრილში წარმოდგენილია გამოთვლითი ექსპერიმენტით მიღებული პარეტო-ოპტიმალური ამონაზსნები, საიდანაც შერჩეული იქნა ის კომპრომისული ამონაზსნი, რომელიც შეესაბამება სქემის მიერ მოთხოვნილ მინიმალურ სიმძლავრეს: $P^* = f_1(R) = 23.5106$ მილივატი და სქემის გადართვის მინიმალურ დროს $t_{\text{დაყ}}^* = f_2(R) = 22.9738$ ნანოწამი. კერძო კრიტერიუმების აღნიშნული მნიშვნელობები მიღებული და მიღებული არ იყო, რეზისტორების შემდეგი ოპტიმალური მნიშვნელობებისას:

$$R_1^* = 4.82 \text{ გომი}, \quad R_2^* = 2.01 \text{ გომი}, \quad R_3^* = 4.63 \text{ გომი}, \quad R_4^* = 1.12 \text{ გომი}, \quad R_5^* = 1.44 \text{ გომი}, \quad R_6^* = 1.12 \text{ გომი}.$$

N _o	$\tilde{f}(R)$	$f_1(R)$	$f_2(R)$	R_i (გონი)		
1.	10.3078	14.6096	35.0066	$R_1 = 4.35$,	$R_2 = 3.41$,	$R_3 = 3.39$,
				$R_4 = 2.30$,	$R_5 = 2.84$,	$R_6 = 2.30$.
2.	13.3837	13.4824	38.3939	$R_1 = 4.70$,	$R_2 = 4.28$,	$R_3 = 3.48$,
				$R_4 = 2.32$,	$R_5 = 3.83$,	$R_6 = 2.33$.
3.	10.1738	13.8741	37.0253	$R_1 = 4.58$,	$R_2 = 3.95$,	$R_3 = 2.74$,
				$R_4 = 2.30$,	$R_5 = 3.43$,	$R_6 = 2.31$.
4.	19.7741	20.2646	26.6166	$R_1 = 4.09$,	$R_2 = 2.12$,	$R_3 = 2.63$,
				$R_4 = 1.54$,	$R_5 = 2.03$,	$R_6 = 1.54$.
5.	17.6691	23.5106	22.9738	$R_1 = 4.82$,	$R_2 = 2.01$,	$R_3 = 4.63$,
				$R_4 = 1.12$,	$R_5 = 1.44$,	$R_6 = 1.12$.
6.	11.0872	16.5291	29.0072	$R_1 = 4.82$,	$R_2 = 2.63$,	$R_3 = 4.21$,
				$R_4 = 1.91$,	$R_5 = 1.40$,	$R_6 = 1.92$.
7.	21.2501	22.8014	25.9212	$R_1 = 4.01$,	$R_2 = 2.29$,	$R_3 = 4.08$,
				$R_4 = 1.19$,	$R_5 = 2.62$,	$R_6 = 1.19$.

რეზისტორების ოპტიმალური მნიშვნელობების მიხედვით კომპიუტერული პროგრამის Electronics Workbench-ის საშუალებით ჩატარდა მოცემული ელექტრონული სქემის გარდამავალი პროცესის კომპიუტერული ანალიზი [6], რომლის შედეგები წარმოდგენილია მე-4 ნახატზე.



ნახ.4

როგორც ნახაზიდან ჩანს, ექსპერიმენტული შედეგები დამაკმაყოფილებელია და ისინი დასაშვები სიზუსტით მიესადაგდა თეორიულად გამოთვლილ შედეგებს.

4. დასკვნა

არაწრფივი ელექტრონული სქემების ოპტიმალური დაპროექტების ამოცანა, საზოგადოდ, მრავალკრიტერიული ოპტიმიზაციის მათემატიკური დაპროგრამების ამოცანას წარმოადგენს. აღნიშული ამოცანების გადასაწყვეტად შემუშავებულია მათემატიკური და პროგრამული უზრუნველყოფა, რომლის საშუალებითაც განსაზღვრულია კონკრეტული დასაპროექტებული ობიექტის - სამისა-

მართო დემიტრატორის მართვის სქემის ოპტიმალური პარამეტრები. მიღებული შედეგების საფუძვლზე შეიძლება დავასკვნათ, რომ შემუშავებული პროგრამული სისტემა პარეტო-ოპტიმალური ამონახსნების მარტივად, სწრაფად და დასაშვები სიზუსტით განსაზღვრის საშუალებას იძლევა.

ლიტერატურა

1. Ногин В.Д. и др. Основы теории оптимизации. М.:Высшая школа, 1986.
2. Жибладзе Б., тифлисийский университет А. სტატИГУРი ოპტიმიზაციის რიცხვითი მეთოდები (მონოგრაფია). თბილისი: მართვის სისტემების ინსტიტუტის გამომცემლობა, 2001.
3. Джиладзе Н.И., Вепхвадзе Т.М. Оптимальный расчет параметров ИС методом Ψ-преобразования. Электронная техника, серия VI, Микроэлектроника, 1977, 1.
4. Анализ и расчет интегральных схем. Под ред. Д.Линна, Ч.Мейера, Д.Гамильтона, т.1,2. М.:Мир, 1969.
5. Наумов Ю.Е. Интегральные логические схемы. М.:Советское радио, 1970.
6. კუციავა ვ. და სხვ. ელექტრონული ლაბორატორია კომპიუტებზე (პროგრამა Electronics Workbench და მისი გამოყენება). თბილისი: ტექნიკური უნივერსიტეტი, 2003.

THE PROBLEM OF OPTIMAL DESIGNING OF NONLINEAR ELECTRONIC CIRCUITS FROM POINT OF VIEW OF MULTICRITERIA OPTIMIZATION

Jibladze Nodar, Gachechiladze L., Imedadze T., Kutsiava V.
Georgian Technical University

Summary

Based on technology of mathematic model working-out, the task of optimal designing of the concrete nonlinear electronic circuit is brought to a mathematical programming of multicriteria optimization. With the aim to find circuit's optimal parameters we, based on the sample of concrete nonlinear circuit, propose both mathematical and program software used for computations and results' analysis.

ЗАДАЧА ОПТИМАЛЬНОГО ПРОЕКТИРОВАНИЯ НЕЛИНЕЙНЫХ ЭЛЕКТРОННЫХ СХЕМ С ТОЧКИ ЗРЕНИЯ МНОГОКРИТЕРИАЛЬНОЙ ОПТИМИЗАЦИИ

Джиладзе Н., Гачечиладзе Л., Имедаке Т., Куциава В.
Грузинский технический Университет

Резюме

На примере конкретной нелинейной электронной схемы показана технология разработки математической модели, на основе которой задача оптимального проектирования данной схемы сведена к задаче математического программирования многокритериальной оптимизации. Для нахождения оптимальных параметров схемы предложено математическое и программное обеспечение, с помощью которого проведены вычислительные эксперименты и проанализированы полученные результаты.